

Statický posudek ukotvení konzol ochozu heliportu

Nemocnice Nové Město na Moravě

Vypracoval: Ing. Pavel Háša

15.8.2017



Obsah

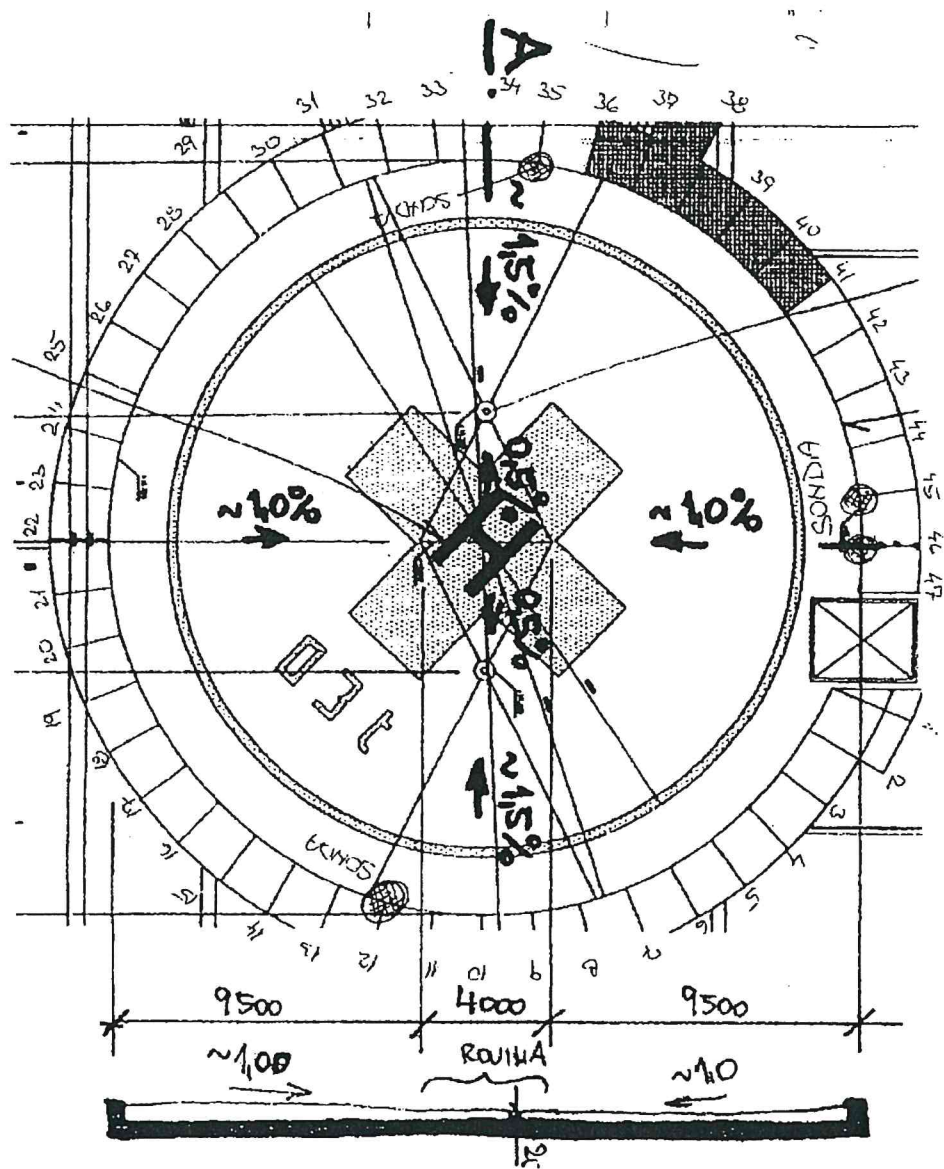
1.	Normy, podklady, literatura.....	2
2.	Schéma konstrukce, průvodní zpráva.....	3
2.1.	Schéma konstrukce.....	3
2.2.	Průvodní zpráva.....	5
3.	Posouzení původní konstrukce.....	8
3.1.	Původní zatížení.....	8
3.2.	Konzola K1 1750 mm.....	9
3.3.	Konzola K2 2600 mm.....	12
4.	Návrh zesílení kotvení.....	14
4.1.	Zatížení.....	14
4.2.	Konzola K1 1750 mm, vnitřní síly.....	15
4.3.	Konzola K1 2600 mm, vnitřní síly.....	16
4.4.	Schéma K1.....	17
4.5.	Návrh kotevního šroubu K1.....	18
4.6.	Návrh nové kotevní konzoly K1.....	30
4.7.	Smyková zarázka K1.....	32
4.8.	Posouzení nové K1 v přípoji.....	33
4.9.	Schéma K2.....	34
4.10.	Návrh kotevního šroubu K2.....	35
4.11.	Návrh nové kotevní konzoly K2.....	47
4.12.	Smyková zarázka K2.....	50
4.13.	Posouzení původní K2 v přípoji.....	51
5.	Konstrukční návrh zesílení kotvení obou konzol.....	52
6.	Výkaz materiálu.....	54-57

1. Normy, podklady, literatura

- [1] ČSN EN 1993-1-1 ed.2 Eurokód 3: Navrhování ocelových konstrukcí- Část 1-1: Obecná pravidla a pravidla pro pozemní stavby, ÚNMZ 2011
- [2] ČSN EN 1993-1-8 ed.2 Eurokód 3: Navrhování ocelových konstrukcí- Část 1-8: Navrhování styčníků, ÚNMZ 2011
- [3] ČSN EN 1991-1-1 Eurokód 1: Zatížení konstrukcí- Část 1-1: Obecná zatížení – Objemové tíhy a užitná zatížení pozemních staveb, ÚNMZ 2004
- [4] ČSN EN 1991-1-3 ed. 2 Eurokód 1: Zatížení konstrukci- Část 1-3: Obecná zatížení- Zatížení sněhem, ÚNMZ 2013
- [5] Hilti katalog pro projektanty 2015/2016
- [6] Hilti příručka pro projektanty
- [7] Výkres konzoly ochozu heliportu podle původního projektu, Penta 2002
- [8] Výkres konzoly ochozu heliportu podle skutečného provedení, Unistav, nedatováno
- [9] Tabulka naměřených deformací konzol ochozu Heliportu, HCS, Ing.Maštera, 2017
- [10] Stanovení přídržnosti povrchové úpravy a třídy pevnosti spádové betonové desky heliportu v areálu nemocnice v Novém Městě na Moravě, Stavexis, 2017

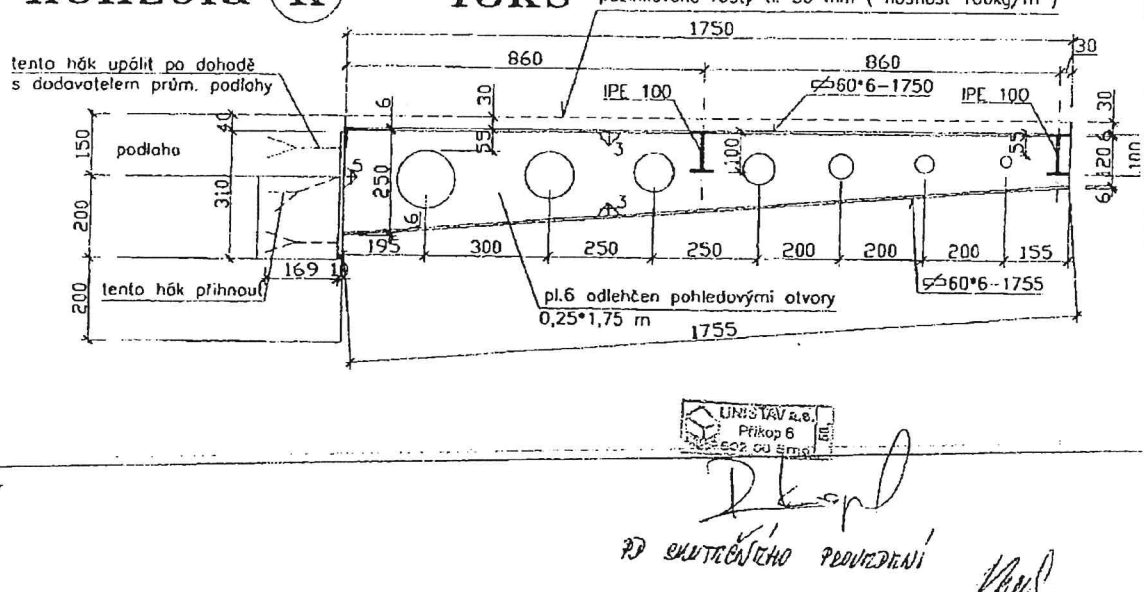
2. Schema konstrukce, průvodní zpráva

2.1. Schéma konstrukce

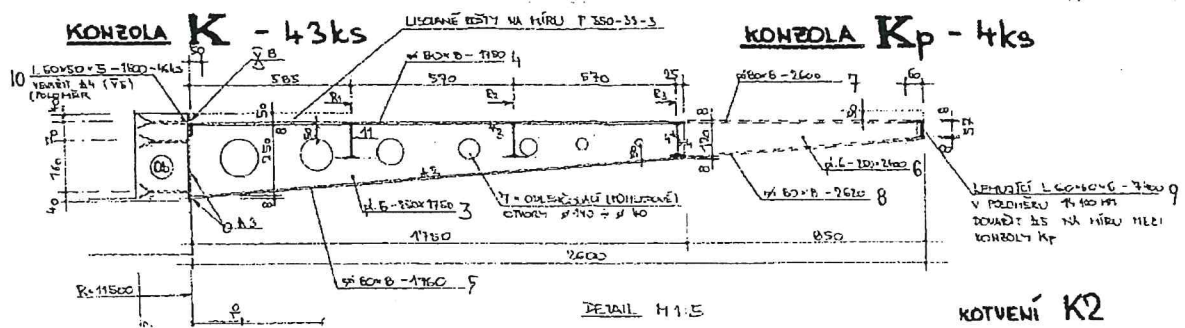


Půdorys heliportu s konzolami ochozu

konzola K - 43ks



Provedení konzol dle dokumentace skutečného provedení



Provedení konzol dle původní projektové dokumentace, neprovedeno

2.2. Průvodní zpráva ke statickému výpočtu

2.2.1. Popis stávajícího stavu kotvení ocelové konstrukce

Hlavním nosným prvkem ocelové konstrukce ochozu heliportu je 47 konzol (43ks s vyložením 1750 mm, 4 ks s vyložením 2600 mm). Tyto konzoly jsou umístěny radiálně po obvodu kruhové železobetonové plošiny a jsou přivařeny k předem zabetonovaným ocelovým deskám. Konzoly podporují kruhově uspořádané nosníky na kterých jsou uloženy ocelové pozinkované rošty.

Železobetonová kruhová deska heliportu (dle projektu C20/25) má tloušťku 200 mm, nad ní se nachází spádová vrstva (pravděpodobně keramzitbeton), nad ní tepelné izolace o tloušťce 80 mm. Nad tepelnou izolací je umístěna fóliová vodotěsná izolace, krytá 150 mm betonovou povrchovou vrstvou (dle sondy C16/20, dle [10]). Tento beton je na okrajích desky porušen korozí. Nosná železobetonová deska má na okraji železobetonový obrubník o výšce 200 mm a šířce 250 mm (ověřeno měřením na místě).

Původní statický výpočet ocelové konstrukce ochozu není k dispozici, z poznámky na výkrese skutečného provedení [8] se dá usoudit, že ochoz byl navržen na proměnné zatížení 1,00 KN/m².

Ocelové kotevní desky měly být původně kotveny trojicí kotevních pásků, uspořádaných tak, že sílu z horní tažené pásnice konzoly přebíraly dva symetricky pásky dimenze PLO 60x6 délky 175 mm [7]. Toto uspořádání by víceméně odpovídalo průběhu vnitřních sil v konzole.

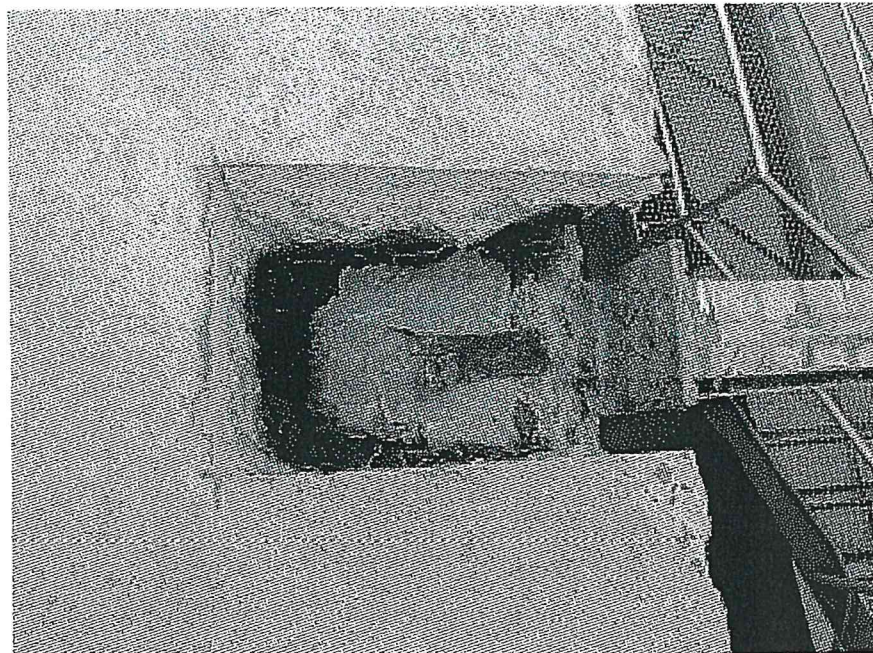
Podle výkresu skutečného provedení došlo při realizaci k posunu kotevní desky oproti konzole směrem dolů, takže tahová síla v horní pásnici by byla přenášena do horního kotevního pásku (za uvažování trojice pásků) se značnou excentricitou. Při tomto uspořádání by bylo mírně překročeno mezní namáhání v soudržnosti betonu a oceli pásku (při uvažování proměnného zatížení 1,00 KN/m²).

Ve skutečnosti byl při realizaci horní pásek z trojice odstraněn (odpálené kousky byly nalezeny v provedených sondách) a střední z původní trojice přihnut, tak aby byl zabetonován v nosné železobetonové desce. Při tomto uspořádání by bylo mezní namáhání v soudržnosti (při uvažování proměnného zatížení 1,00 kN/m²) překročeno více než dvojnásobně.

Navíc, původně uvažované pásky PLO 60*6 o délce 169 mm byly nahrazeny pásky s dimenzí PLO 30*4 a délkou 80 mm (odhaleno ve čtyřech provedených sondách, [9]), takže pak by mezní namáhání v soudržnosti oceli a betonu bylo překročeno více než sedminásobně a vlastní únosnost ocelového pásku 1,5x (při uvažování proměnného zatížení 1,00 kN/m²).

Podle měření deformací nezatížené konstrukce již došlo na několika místech k posunu v kotvení a tím k značné deformaci konce konzol [9].

Podle situace v odhalených sondách jsou kotevní pásky a kotevní desky napadeny korozí, svary připojující kotevní pásky ke kotevním deskám jsou nedostatečné a nekvalitní a v místech ohybu pásků v nich lze nalézt trhliny.



Obr 1. Sonda s oddělenou horní kotvou



Obr. 2 Koroze kotvení

2.2.2. Popis navrhované rekonstrukce

Původně uvažované (pravděpodobně) proměnné zatížení je nedostatečné. Ochozy jsou umístěny na okraji heliportu a je přes jejich okraj shazován sníh, který se v lokalitě Nového Města na Moravě uvažuje hodnotou 2,5 kN/m²-3,0 kN/m² (dle ČSN EN 1991-1-3 [4]). Návrh rekonstrukce kotvení proto uvažuje s hodnotou proměnného zatížení 3,0 kN/m² (hodnotou požadovanou v ČSN EN 1991-1-1 [3] pro balkony).

Stávající kotevní deska bude odhalena z prostoru heliportu v rozsahu vrstvy krycího betonu. V této části kotevní desky se nenachází žádný funkční kotevní pásek. Po očištění od produktů koroze bude k desce přivařena nová konzola z profilu HEB 100 (resp. HEB120 pro délku 2600 mm), ocel S235. Tato konzola bude ukotvena k nosné železobetonové desce pomocí 2 (resp. 4) lepených kotev HILTI M16 .

Předpokládá se použití kotevních šroubů HILTI HIT-C kvality 8.8 a lepící hmoty HIT-RE 500-SD, osazeno do suchých otvorů vrtaných příklepem a posléze vycištěných (při realizaci je třeba respektovat technologické požadavky dodavatele).

Nová ocelová konzola je navíc opatřena zarážkou, kterou se bude opírat o stávající železobetonový obrubník. Konstrukce bude doplněna umístěním nezbytných nových výztuh na stávající ocelové konzoly ochozu.

V rozsahu nové konzoly bude před osazením kotev odstraněna tepelná izolace, po montáži bude jak vlastní konzola, tak její zarážka podlity nesmrštitelnou podlévací hmotou na silikátové bázi.

Nově přidané ocelové konstrukce budou opatřeny protikorozní ochranou nátěrem na stupeň korozní odolnosti C4 (doporučení nátěry zinksilikátové) a posléze zabetonovány v rámci opravy vrchní desky heliportu. Předpokládá se třída provedení EXC2 dle ČSN EN 1090-2.

Toto posouzení se netýká vlastní ocelové konstrukce heliportu, zabývá se pouze ukotvením konzol k betonové konstrukci.

3. POSOUZENÍ PŮVODNÍ KONSTRUKCE

3.1. ZATÍŽENÍ PŮVODNÍ

Relativní zatížení může být konstrukce měřena novým kritickým.

Kritické [8] ne došlo vzhledem k tomu že bylo srovnání s průměrným relativním 100 g/m^2 , k $\underline{1,00 \text{ kN/m}^2}$

DZN	POPS	CHARAKT. [kN/m ²]	NAVRHOTÉ [kN/m ²]
A1	Mělká žebra roštů	0,30	
B1	Mělká žebra plísný - OK		
	Monyf I - $2 \times 1,62 \cdot 1,11 = 35,96 \text{ kg}$		
	Hnědlo $0,8 \cdot 1,75 \cdot 22 = 30,80 \text{ kg}$		
		66,76	
	Střední hmotnost: $\frac{66,76}{1,62 \cdot 1,11} = 23,6 \text{ kg/m}_2$		
C1	Uzavřená o klatvová	0,25	
A1		0,55	1,35
B1	Uzavřená dle [8]	1,00	1,70
C1	Cellum	1,55	2,24
			$\underline{1,50 \text{ kN/m}^2}$

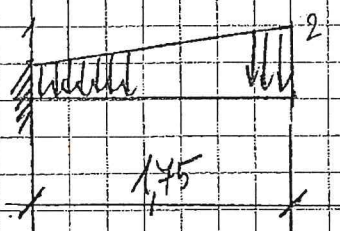
3.2. KONZOLA $L_v = 1,75 \text{ m}$

Rechteckiger Quader:

$$B_1 = \frac{11,5 \cdot \pi \cdot 2}{48} = 1,51 \text{ m}$$

$$\bar{B}_1 = \frac{1,51 + 1,75}{2} = 1,62 \text{ m}$$

$$B_2 = \frac{(11,5 + 1,75) \cdot \pi \cdot 2}{48} = 1,43 \text{ m}$$



$$q_{1,d} = 1,51 \cdot 0,24 = 3,382 \text{ kN/m}^2$$

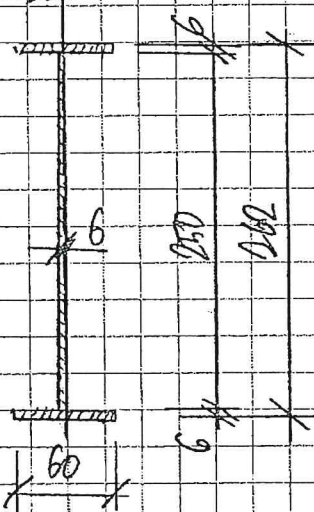
$$q_{2,d} = 1,43 \cdot 0,24 = 3,432 \text{ kN/m}^2$$

$$V_{Ed} = 1,75 \cdot 3,382 + \frac{1}{2} \cdot (3,432 - 3,382) \cdot 1,75 = 6,350 \text{ kN}$$

$$M_{Ed} = \frac{1}{2} \cdot 3,382 \cdot 1,75^2 + \frac{1}{2} \cdot \frac{2}{3} (3,432 - 3,382) \cdot 1,75^2 = 5,682 \text{ kNm}$$

Orientierungswinkel profile (bei oben dargestellten)

S035



$$A = 2 \cdot 60 \cdot 6 + 250 \cdot 6 = 1220 \text{ mm}^2$$

$$I_y = \frac{1}{12} \cdot 60 \cdot 162^3 - \frac{1}{12} \cdot 55 \cdot 250^3 = 19,611,140 \text{ mm}^4$$

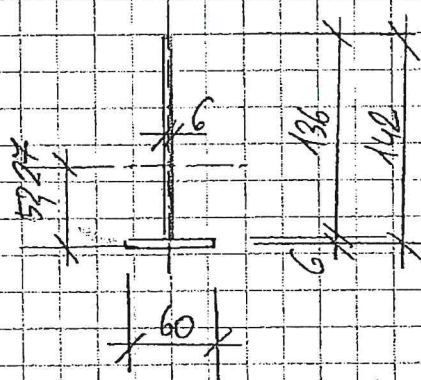
$$W_{Ed} = \frac{19,611,140 \cdot 2}{252} = 149,403 \text{ mm}^3$$

$$\frac{M_{Ed}}{W_{Ed}} = \frac{5,682 \cdot 10^6}{149,403} = 37,96 \text{ MPa}$$

$\ll 235 \text{ MPa}$

Profile reichen nicht aus; statische
Aussteifung erforderlich

Orientační průřez profil
v příchozíma horninu deky (málo výrazný, tedy hmotnost ho lze zanedbat)



$$A = 60 \cdot 6 + 136 \cdot 6 = 1176 \text{ mm}^2$$

$$z_t = \frac{60 \cdot 6 \cdot 3 + 136 \cdot 6 \cdot 144}{1176} = 52,24 \text{ mm}$$

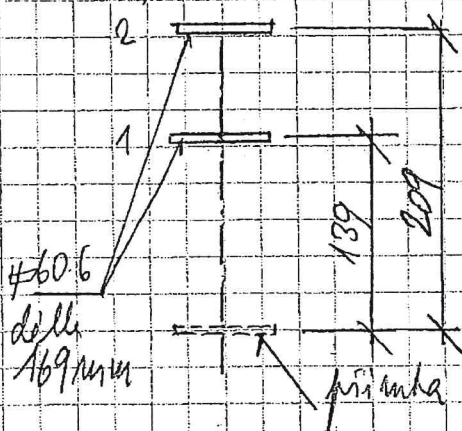
$$I_y = \frac{1}{2} (60 \cdot 6^3 + 6 \cdot 136^3) + 60 \cdot 6 \cdot (52,24 - 3)^2 + 136 \cdot 6 \cdot (144 - 52,24)^2 = 2,518,029 \text{ mm}^4$$

$$\sigma = \frac{M_{ed}}{W_{el}} = \frac{5,682 \cdot 10^6}{2,518,029 \cdot 10^6} (142 - 52,24) = 202,68 \text{ MPa} \leq 235 \text{ MPa}$$

- kempík her lezeny

Průřez bočnicí profilu - variante 3 párky

Příslušný v ležení je vlastně průřez 2 horní, spodní níže v



$$r_1 = 139 \text{ mm} \quad (\text{dle [8]})$$

$$r_2 = 139 + 70 = 209 \text{ mm} \quad (\text{dle [7]})$$

$$F_1 = \frac{r_1}{r_2} \cdot F_2 = \frac{139}{209} \cdot F_2 = 0,665 F_2$$

$$M_{ed} = F_1 \cdot r_1 + F_2 \cdot r_2 = 0,665 \cdot F_2 \cdot 0,139 + 0,209 \cdot F_2 = 0,3014 \cdot F_2$$

$$5,682 = 0,3014 F_2 \Rightarrow F_2 = 18,85 \text{ kN}$$

$$\sigma_t = \frac{18,850}{60 \cdot 6} = 59,36 \text{ MPa} \leq 235 \text{ MPa}$$

Napětí v soudružstvu - lezeny

$$\sigma = \frac{18,850}{169 \cdot (2 \cdot 60 + 2 \cdot 6)} = 0,845 \text{ MPa} \geq \frac{113}{1,150} = 0,953 \text{ MPa}$$

nepřijat

c16/20

Prozessur hohes und niedrig - mehr an der 2. Stelle, weniger an der 1. Stelle

$$M_{ED} = F_1 \cdot r_1 = 0,139 \cdot F_1$$

$$F_1 = \frac{5,682}{0,139} = 40,848 \text{ N}$$

$$\sigma_t = \frac{40,848}{60,6} = \underline{\underline{113,55 \text{ MPa}}} \geq 235 \text{ N/mm}^2 \quad \text{C20/25}$$

$$\sigma_r = \frac{40,848}{169(2,60 + 2,6)} = \underline{\underline{1,832 \text{ MPa}}} \geq \frac{185}{150} = \underline{\underline{0,90 \text{ MPa}}}$$

merglos: pro dille 169 N/mm²,
niedrig: pro dille 80 N/mm²

Per Mühlemeier für die 1. Stelle $\Rightarrow 30,4$, dille 80 N/mm²

$$\sigma_t = \frac{40,848}{30,4} = \underline{\underline{134,65 \text{ MPa}}} \geq 235$$

Mühlemeier, C16/20

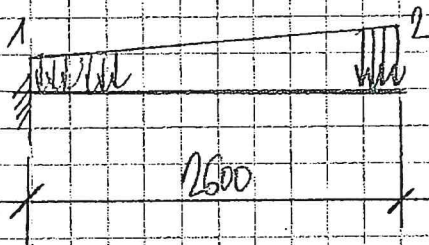
$$\sigma_r = \frac{40,848}{80(2,30 + 2,4)} = \underline{\underline{1,1314 \text{ MPa}}} \geq 0,90 \text{ MPa}$$

merglos

3. S. 100% ZOLA $L_K = 2,6 \text{ m}$

Réteigran' rile $Z_{51} = 1,61 \text{ m}$, akkor hossza $L_K = 1,75 \text{ m}$

$$Z_{52} = (1,65 + 2,6) \cdot \frac{11-2}{48} = 1,846 \text{ m}$$



$$G_{1,d} = 3,382 \text{ kN/m}$$

$$G_{2,d} = 1,846 \cdot 2,24 = 4,135 \text{ kN/m}$$

$$V_{EU} = 2,60 \cdot 3,382 + \frac{1}{2} (4,135 - 3,382) \cdot 2,60 = 9,772 \text{ kN}$$

$$M_{EU} = \frac{1}{2} \cdot 3,382 \cdot 2,60^2 + \frac{1}{3} (4,135 - 3,382) \cdot 2,60 = 13,128 \text{ kNm}$$

Orientációs nyomás 'I profil - bei obigen Klasse'

$$\frac{\sigma}{\sigma} = \frac{13,128 \cdot 10^6}{119 \cdot 403} = \frac{84,69}{1} \text{ MPa} < 235 \text{ MPa}$$

Orientációs nyomás 'I profil
a profilban meghibászt'

$$\frac{\sigma}{\sigma_{\text{tol}}} = \frac{13,128 \cdot (142 - 52,24) \cdot 10^6}{2518029 \cdot 10^6} = \frac{464,32 \text{ MPa}}{1} > 235 \text{ MPa}$$

Nyomás lokális poszit
= rövidre 3 sebesség

$$\frac{\sigma}{\sigma_{\text{tol}}} = \frac{13,128}{0,3014} = \frac{43,56 \text{ kN}}{1}$$

$$\frac{\sigma}{\sigma_{\text{tol}}} = \frac{43,56 \cdot 10^3}{60 \cdot 6} = \frac{121}{1} \text{ MPa} \leq 235 \text{ MPa}$$

Származtat:

$$\frac{\sigma_{\text{tol}}}{\sigma_{\text{tol}}} = \frac{43,56 \cdot 10^3}{109 / (2 \cdot 60 + 2 \cdot 6)} = \frac{1,953 \text{ MPa}}{1} \geq 0,7463 \text{ MPa}$$

megfelelő

C16/20

16.

Prozess: Bohren & Meißeln
- rechteckig

$$F_{1,d} = \frac{13,128}{0,139} = \underline{\underline{94,446 \text{ kN}}}$$

$$\frac{M}{G \cdot d} = \frac{94,446}{60 \cdot 6} = \underline{\underline{262,33 \text{ MPa}}} \geq 235 \text{ MPa}$$

Sandstein

$$\frac{M}{G \cdot d} = \frac{94,446}{169 \cdot 139} = \underline{\underline{4,233 \text{ MPa}}} \geq 6,900 \text{ MPa}$$

pro dille 169 mm, mehr pro dille 80 mm
meighen

(20/25)

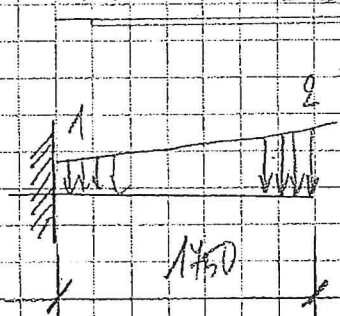
4. NÁVRH ZESÍLENÍ KOTVĚNÍ

4.1. ZATÍŽENÍ

- Normální výška zatížení N hodnotě $1,00 \text{ kN/m}^2$ neplatí výplňka za správnou kontaktu, je možné v ní použít oceli se relativně malou sítí $s_0 = 2,50 \text{ kN/m}^2$ dle ČSN EN 1991-1-3 [4]
- Kontaktu ještě delší o celou délku profilu, by mělo být uvedeno výškovou sílu a plášť
 \Rightarrow uvažujme $\sigma_{pk} = 3,00 \text{ kN/m}^2$

OZN	POPIS	CHRAST.	f_f	NÁVRHOVÉ
		[kN/m ²]		[kN/m ²]
A2	Vlastní tříška hravice plášť	0,65	1,35	0,94
B2	Vlastní	3,00	1,50	4,50
C2	Cellon	3,55		5,24

4.2. KONZOLA $l_k = 1,75 \text{ m}$



$$F = 1,51 \text{ kN}$$

$$q_1 = 1,73 \text{ kN/m}$$

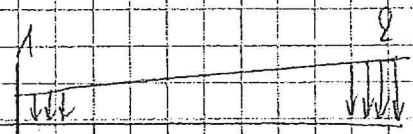
$$q_{1,d} = 1,51 \cdot 1,73 = \frac{4,912}{1} \text{ kN/m}^2$$

$$q_{2,d} = 1,73 \cdot 1,73 = \frac{9,065}{1} \text{ kN/m}^2$$

$$M_{ED} = \frac{1}{2} \cdot 4,912 \cdot 1,75^2 + \frac{1}{3} (9,065 - 4,912) \cdot 1,75^2 = \underline{13,292 \text{ kNm}}$$

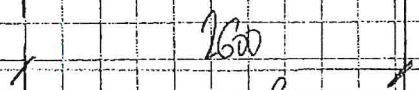
$$V_{ED} = 4,912 \cdot 1,75 + \frac{1}{2} (9,065 - 4,912) \cdot 1,75 = \underline{14,855 \text{ kN}}$$

4.3. KONZOLA $L_k = 9,6 \text{ m}$



$$Z_1 = 1,51 \text{ m}$$

$$Z_2 = 1,846 \text{ m}$$



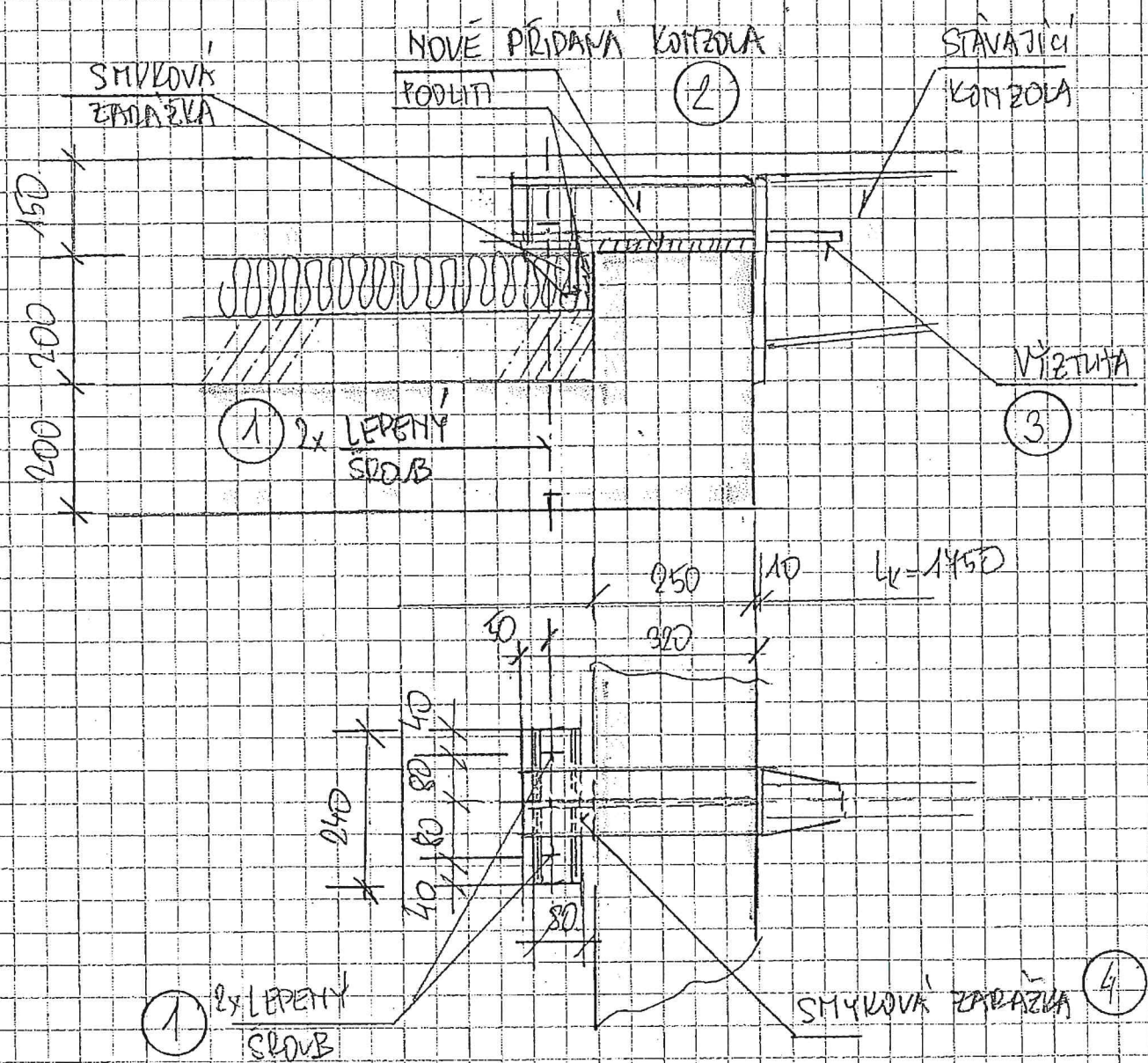
$$q_{M1} d = 1,51 \cdot 5,924 = \underline{4,912 \text{ KN/m}}$$

$$q_{M2} d = 1,846 \cdot 5,924 = \underline{9,643 \text{ KN/m}}$$

$$VEd = 2,60 \cdot 4,912 + \frac{1}{2} \cdot 2,60 \cdot (9,643 - 4,912) = \underline{29,86 \text{ kN}}$$

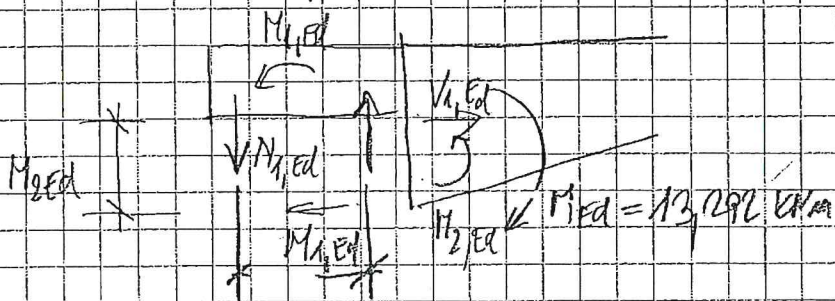
$$MEd = \frac{1}{2} \cdot 4,912 \cdot 2,60^2 + \frac{1}{3} \cdot (9,643 - 4,912) \cdot 2,60^2 = \underline{30,44 \text{ kNm}}$$

4.4 SCHEMA KONSTRUKCE - KONZOLA $l_k = 175 \text{ mm}$



4.5 NÁVRH KOTĚVMIHO ŠTROUBU $L_r = 1,75$ (1)

Momenta od primordiálního kruhu $M_{Ed} = 13,292 \text{ kNm}$
 indukce ohýbací momentu v ulozu



Dvoufázové činné může být třídu:

$$1.) \quad M_{1,Ed} = 0,65 \quad M_{Ed} = 8,64 \text{ kNm}$$

$$M_{2,Ed} = 0,35 \quad M_{Ed} = 4,65 \text{ kNm}$$

Tyto momenty jsou primordiální ohýbací momenty

$$\Rightarrow N_{1,6,Ed} = \frac{M_{1,Ed}}{r_1} = \frac{8,64}{0,30} = 28,80 \text{ kN}$$

$$N_{4,1,Ed} = \frac{M_{2,Ed}}{r_2} = \frac{4,65}{0,15} = 31,01 \text{ kN}$$

2.) Dvoufázová třída - $M_{2,Ed} = 0$ ještě vzdálenost
 mezi maximální lehovou silou a kohoutí řízku

$$N_{4,1,Ed} = \frac{13,292}{0,30} = 44,31 \text{ kN}$$

Orientační návrh jízdního
 (dopravního) sestavení (HILTI)
 [5]

$$N_{e,Rd} \leq 2 \cdot 33,5 = 67 \text{ kN} > 44,31 \text{ kN}$$

$$d = 47,12^\circ \quad V_{e,Rd} \leq 2 \cdot 31,2 = 62,4 \text{ kN} > 31,01 \text{ kN}$$

$$N_{e,Rd}, V \leq 2[N_{e,Rd} - (N_{e,Rd} - V_{ed}) \cdot \frac{d}{9,2}] =$$

$$= 2[33,5 - (33,5 - 31,2) \cdot \frac{47,12}{9,2}] = 64,59 \text{ kN} > 28,80 \text{ kN}$$

www.hilti.com

Společnost:
Projektant:
Adresa:
Telefon / fax:
E-mail:

Ing. Pavel Háša

|

Strana:
Projekt:
Dílčí projekt / pozice č.:
Datum:

1
Heliport
Konzola 1750m
4.8.2017

Komentář uživatele: Konzola 1750mm, namáhání Nt, Ed, tl.desky 200mm

1 Vstupní data

Typ a velikost kotvy:

HIT-HY 200-A + HIT-V (5.8) M16



Efektivní kotvení hloubka:

$h_{ef,act} = 164 \text{ mm}$ ($h_{ef,act} = - \text{ mm}$)

Materiál:

5.8

Certifikát č.:

ETA 11/0493

Vydáný / Platný:

15.4.2015 | 15.4.2020

Posouzení:

návrhová metoda ETAG BOND (EOTA TR 029)

Distanční montáž:

$e_b = 0 \text{ mm}$ (bez distanční montáže); $t = 12 \text{ mm}$

Kotevní deska:

$I_x \times I_y \times t = 240 \text{ mm} \times 80 \text{ mm} \times 12 \text{ mm}$; (Doporučená tloušťka kotevní desky: nepočítána)

Profil:

I profil; ($V \times \check{S} \times T \times T$) = 80 mm x 42 mm x 6 mm x 6 mm

Základní materiál:

s trhlinami beton, C20/25, $f_{cc} = 25,00 \text{ N/mm}^2$; $h = 200 \text{ mm}$, Teplota krátkodobá/dlouhodobá: 40/24 °C

Montáž:

kotevní otvor vrtaný příklepem, montážní podmínky: suchý

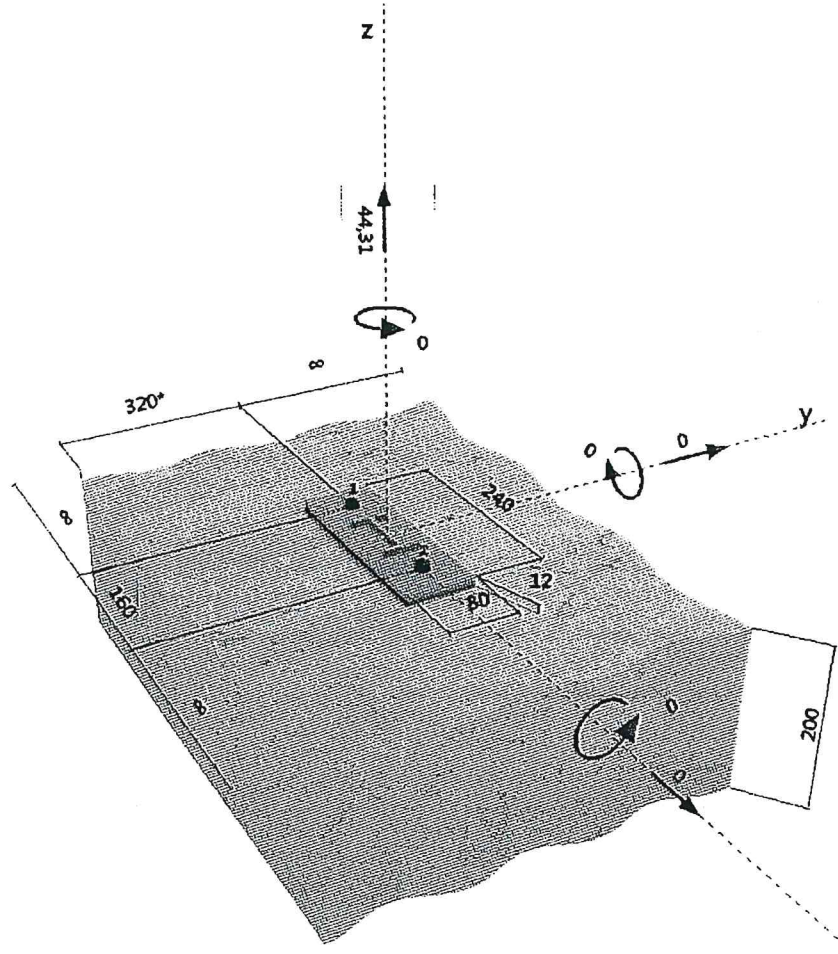
Výzluž:

Žádná výzluž nebo osová vzdálenost výzluže $\geq 150 \text{ mm}$ (jakýkoliv Ø) nebo $\geq 100 \text{ mm}$ ($\varnothing \leq 10 \text{ mm}$)

Žádná podélná výzluž okraje

Je přítomna výzluž bránící rozštěpení betonu podle EOTA TR 029, odstavec 5.2.2.6.

Geometrie [mm] & Zatížení [kN, kNm]



Společnost:
 Projektant:
 Adresa:
 Telefon i fax:
 E-mail:

Ing. Pavel Háša

Strana:
 Projekt:
 Dílčí projekt / pozice č.:
 Datum:

2
 Heliport
 Konzola 1750m
 4.8.2017

Slav	Popis	Síly [kN] / Momenty [kNm]	Seismický	Požár	Max. využ. [%]
1	Kombinace 1	N = 28,800; V _x = 0,000; V _y = -31,010; M _x = 0,000; M _y = 0,000; M _z = 0,000	Ne	ne	101
2	Kombinace 2	N = 44,310; V _x = 0,000; V _y = 0,000; M _x = 0,000; M _y = 0,000; M _z = 0,000	Ne	ne	71

* Detailní výsledky (Kombinace 2, zobrazené dále) nepředstavují rozhodující kombinaci zatížení Kombinace 1

2 Zatěžovací stav/Výsledné síly na kotvu

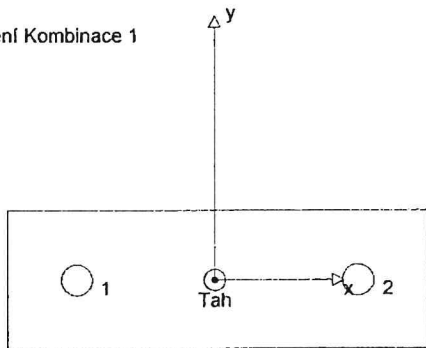
Zatěžovací stav: Návrhové zatížení

Reakce kotvy [kN]

Tahová síla: (+ Tah, - Tlak)

Kotva	Tahová síla	Smyková síla	Smyková síla x	Smyková síla y
1	22,155	0,000	0,000	0,000
2	22,155	0,000	0,000	0,000

max. tlakové přetvoření betonu: - [%]
 max. tlakové napětí v betonu: - [N/mm²]
 výsledná tahová síla v (x/y)=(0/0): 44,310 [kN]
 výsledná tlaková síla v (x/y)=(0/0): 0,000 [kN]



3 Tahové zatížení (EOTA TR 029, bod 5.2.2)

	Zatížení [kN]	Únosnost [kN]	Využití β _N [%]	Stav
Porušení ocelí*	22,155	52,667	43	OK
Kombinované porušení vytažením - vytržením betonového kuželu**	44,310	63,145	71	OK
Porušení vytržením betonového kuželu**	44,310	66,797	67	OK
Porušení rozštřepením**	Není k dispozici	Není k dispozici	Není k dispozici	Není k dispozici

* nejneprůzivnější kotva ** skupina kotev (kotvy v tahu)

3.1 Porušení ocellí

N _{Rk,s} [kN]	γ _{M,s}	N _{Rd,s} [kN]	N _{Sd} [kN]
79,000	1,500	52,667	22,155

3.2 Kombinované porušení vytažením - vytržením betonového kuželu

A _{p,N} [mm ²]	A _{p,N} ⁰ [mm ²]	τ _{Rk,ucr,25} [N/mm ²]	s _{cr,Np} [mm]	c _{cr,Np} [mm]	c _{min} [mm]
320784	242064	18,00	492	246	320
ψ _c	τ _{Rk,cr} [N/mm ²]	k	ψ _{g,Np} ⁰	ψ _{g,Np}	
1,000	8,50	2,300	1,047	1,020	
e _{c1,N} [mm]	ψ _{ec1,Np}	e _{c2,N} [mm]	ψ _{ec2,Np}	ψ _{s,Np}	ψ _{re,Np}
0	1,000	0	1,000	1,000	1,000
N _{Rk,p} ⁰ [kN]	N _{Rk,p} [kN]	γ _{M,p}	N _{Rd,p} [kN]	N _{Sd} [kN]	
70,070	94,718	1,500	63,145	44,310	

3.3 Porušení vytržením betonového kuželu

A _{c,N} [mm ²]	A _{c,N} ⁰ [mm ²]	c _{cr,N} [mm]	s _{cr,N} [mm]
320784	242064	246	492
e _{c1,N} [mm]	ψ _{ec1,N}	e _{c2,N} [mm]	ψ _{ec2,N}
0	1,000	0	1,000
N _{Rk,c} ⁰ [kN]	γ _{M,c}	N _{Rd,c} [kN]	N _{Sd} [kN]
75,608	1,500	66,797	44,310



Společnost:
Projektant:
Adresa:
Telefon I fax:
E-mail:

Ing. Pavel Háša

|

Strana:
Projekt:
Dílčí projekt / pozice č.:
Datum:

3
Heliport
Konzola 1750m
4.8.2017

4 Smykové zatížení (EOTA TR 029, bod 5.2.3)

	Zatížení [kN]	Únosnost [kN]	Využití β_V [%]	Stav
Porušení oceli (bez distanční montáže)*	Není k dispozici	Není k dispozici	Není k dispozici	Není k dispozici
Porušení oceli (s distanční montáží)*	Není k dispozici	Není k dispozici	Není k dispozici	Není k dispozici
Porušení vylomením betonu*	Není k dispozici	Není k dispozici	Není k dispozici	Není k dispozici
Porušení okraje betonu ve směru **	Není k dispozici	Není k dispozici	Není k dispozici	Není k dispozici

* nejnepřiznivější kotva ** skupina kotev (rovnocenné kotvy)

5 Posuny (nejvíce zatížená kotva)

Krátkodobé teplotní zatížení:

$$\begin{array}{ll} N_{Sk} = 16,411 \text{ [kN]} & \delta_N = 0,139 \text{ [mm]} \\ V_{Sk} = 0,000 \text{ [kN]} & \delta_V = 0,000 \text{ [mm]} \\ & \delta_{NV} = 0,139 \text{ [mm]} \end{array}$$

Dlouhodobé teplotní zatížení:

$$\begin{array}{ll} N_{Sk} = 16,411 \text{ [kN]} & \delta_N = 0,319 \text{ [mm]} \\ V_{Sk} = 0,000 \text{ [kN]} & \delta_V = 0,000 \text{ [mm]} \\ & \delta_{NV} = 0,319 \text{ [mm]} \end{array}$$

Poznámka: Posuny vlivem tahové síly jsou platné při poloviční hodnotě předepsaného utahovacího momentu pro bez trhlin beton! Smykové posuny jsou platné za předpokladu žádného tření mezi betonem a kotevní deskou! Mezery mezi kotvou a vršaným kotevním otvorem a mezery mezi kotvou a otvorem v kotevní desce nejsou v tomto výpočtu zahrnuty!

Přípustné posuny kotev závisí na připevňované konstrukci a musejí být definovány projektantem!

6 Upozornění

- Přerozdělení zatížení do jednotlivých kotev v důsledku pružné deformace kotevní desky není uvažováno. Předpokládá se, že kotevní deska je dostatečně tuhá, aby se nedeformovala, když je vystavena zatížení! Vstupní data a výsledky musí být zkontrolovány zda odpovídají stávajícím podmínkám a zda jsou věrohodné!
- Kontrolu přenosu zatížení do základního materiálu je požadováno provést v souladu s EOTA TR 029 část 7!
- Návrh je platný pouze v případě, když průměry otvorů pro kotvy v kotevní desce nejsou větší než je stanoven v EOTA TR029, tabulka 4.1! Komentář ohledně větších otvorů je uveden v EOTA TR029, článek 1.1!
- Seznam příslušenství v tomto protokolu slouží pouze jako informace uživateli. V každém případě je třeba dodržovat návod k použití dodávaný s výrobkem, aby byla zajištěna správná instalace.
- Čištění vyvrtaného kotevního otvoru musí být provedeno dle návodu na použití (2x vyfoukat stlačeným vzduchem bez oleje (min. 6bar), 2x vykartáčovat a opět 2x vyfoukat stlačeným vzduchem bez oleje (min. 6bar)).
- Charakteristická pevnost lepicí hmoty (soudržnost) závisí na krátkodobých a dlouhodobých teplotách.
- Prosím kontaktujte Hilti pro ověření dostupnosti dodávky kotevních šroubů HIT-V.
- Okrajová výztuž není požadovaná pro zabránění porušení rozštěpením.

Upevnění je bezpečné!

www.hilti.com

Společnost:
Projektant:
Adresa:
Telefon I fax:
E-mail:

Ing. Pavel Háša

Strana:
Projekt:
Dílčí projekt / pozice č.:
Datum:

4
Heliport
Konzola 1750m
4.8.2017

7 Montážní pokyny

Kotevní deska, ocel: -

Profil: I profil; 80 x 42 x 6 x 6 mm

Průměr otvoru v kotevní desce: $d_t = 18$ mm

Tloušťka kotevní desky (vstup): 12 mm

Doporučená tloušťka kotevní desky: nepočítána

Čištění: Je požadováno kvalitní vyčištění kotevního otvoru

Typ a velikost kotvy: HIT-HY 200-A + HIT-V (5.8) M16

Utahovací moment: 0,080 kNm

Průměr otvoru v základním materiálu: 18 mm

Hloubka kotevního otvoru v základním materiálu: 164 mm

Minimální tloušťka základního materiálu: 200 mm

7.1 Doporučené příslušenství

Vrtání

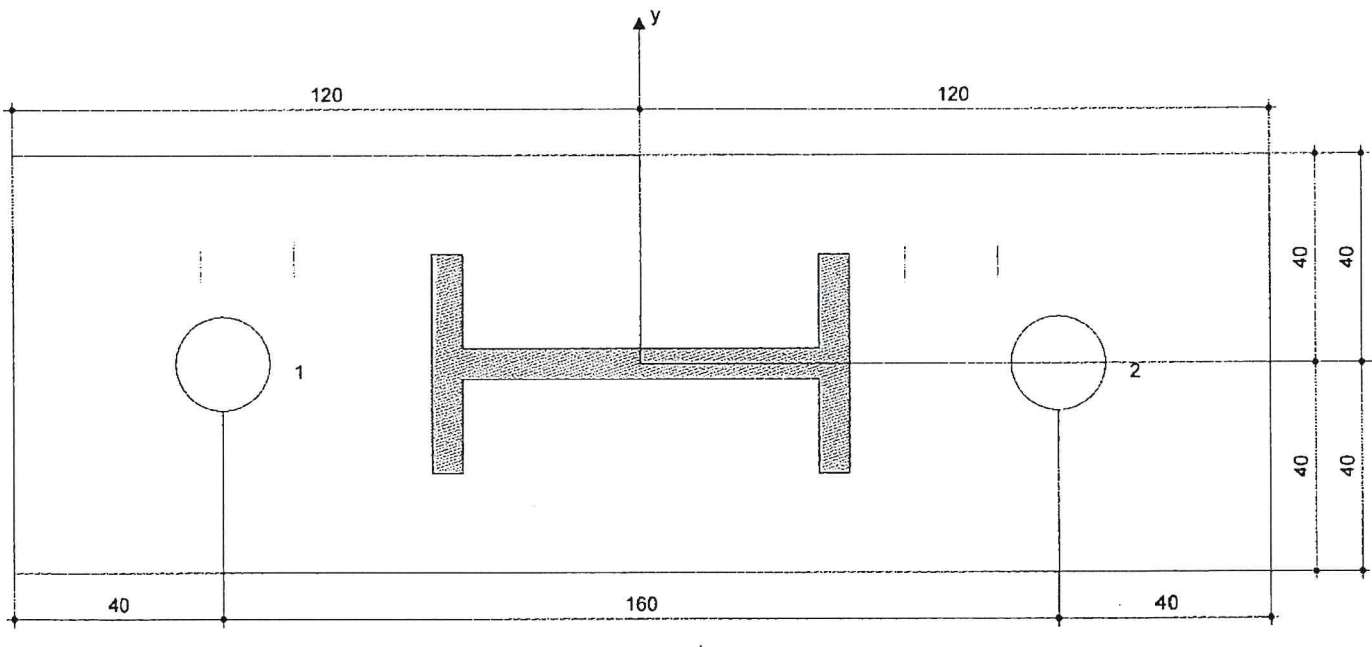
- Vhodná pro vrtací kladivo
- Vrták správného průměru

Čištění

- Sláčený vzduch s požadovaným příslušenstvím pro vyfoukání kotevního otvoru ode dna
- Odpovidající průměr drátkového kartáče

Osazení

- Výtláčovací přístroj včetně vodící kazety a směšovače
- Momentový klíč



Souřadnice kotev [mm]

Kotva	x	y	c_{+x}	c_{+y}	c_{-y}	c_{-y}
1	-80	0	-	-	320	-
2	80	0	-	-	320	-



Profis Anchor 2.5.5

www.hilti.com

Společnost:
Projektant:
Adresa:
Telefon I fax:
E-mail:

Ing. Pavel Háša

Strana:
Projekt:
Dílčí projekt / pozice č.:
Datum:

5
Heliport
Konzola 1750m
4.8.2017

8 Poznámka; Váše kooperační služba

- Veškeré informace a data obsažená v Software se týkají výhradně použití výrobků Hilti a vycházejí ze zásad, předpisů a bezpečnostních nařízení v souladu s technickými směrnicemi a provozními, montážními a instalacními pokyny společnosti Hilti, jimiž se uživatel musí striklně řídit. Veškerá čísla obsažená v Software představují průměrné hodnoty, a proto je před použitím příslušného výrobku Hilti nutno provést testy pro jeho konkrétní použití. Výsledky výpočtů provedených pomocí Software vycházejí především z vámi zadaných dat. Neseťte proto výhradní odpovědnost za bezchybnost, úplnost a relevantnost zadávaných dat. Mimoto nesete výhradní odpovědnost za kontrolu výsledků vzešlých z výpočtů a za to, že si tyto výsledky před jejich použitím pro konkrétní zařízení necháte ověřit a schválit od odborníka, zejména co se týče souladu s příslušnými normami a povoleními. Software slouží pouze jako pomůcka pro interpretaci norem a povolení bez jakékoli záruky ohledně bezchybnosti, přesnosti a relevantnosti výsledků nebo vhodnosti pro konkrétní použití.
- Abyste předešli škodám, které by Software mohlzpůsobit, nebo omezili jejich rozsah, musíte přijmout veškerá nutná a přiměřená opatření. Obzvláště je třeba pravidelně zálohovat programy a data a v případě potřeby provádět aktualizace Software, které společnost Hilti pravidelně nabízí. Nepoužíváte-li funkci AutoUpdate, která je součástí Software, je nutné zajistit aktuálnost vámi používané verze Software ručními aktualizacemi prostřednictvím internetových stránek společnosti Hilti. Společnost Hilti nenese žádnou zodpovědnost za důsledky vzešlé z vámi zaviněného porušení povinností, jako je například nutnost obnovy ztracených či poškozených dat nebo programů.

Společnost:
Projektant:
Adresa:
Telefon i fax:
E-mail:

Ing. Pavel Háša

|

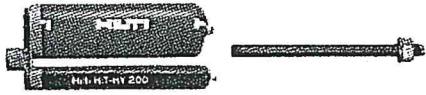
Strana:
Projekt:
Dílčí projekt / pozice č.:
Datum:

1
Heliport
Konzola 1750m
4.8.2017

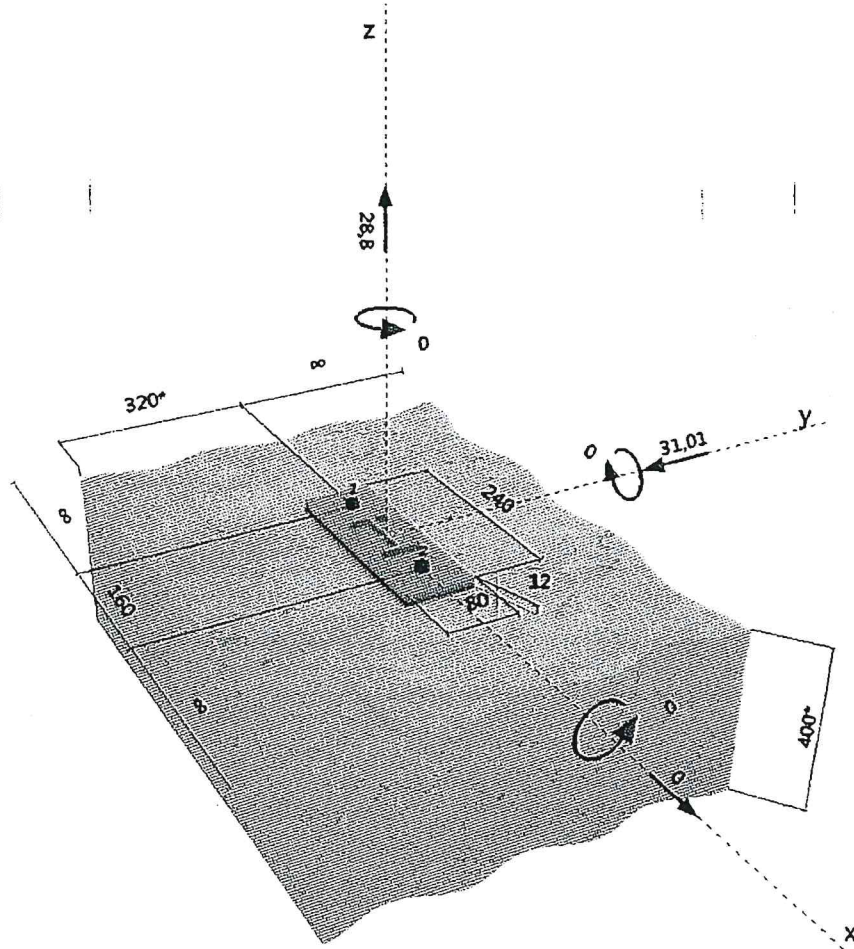
Komentář uživatele: Konzola 1750mm, namáhání Nt,Ed+VEd, tl.desky 400mm

1 Vstupní data

Typ a velikost kotvy:	HIT-HY 200-A + HIT-V (5.8) M16
Efektivní kotvení hloubka:	$h_{ef,act} = 118 \text{ mm}$ ($h_{ef,limit} = - \text{ mm}$)
Materiál:	5.8
Certifikát č.:	ETA 11/0493
Vydáný i Platný:	15.4.2015 15.4.2020
Posouzení:	návrhová metoda ETAG BOND (EOTA TR 029)
Distanční montáž:	$e_b = 0 \text{ mm}$ (bez distanční montáže); $t = 12 \text{ mm}$
Kotevní deska:	$I_x \times I_y \times t = 240 \text{ mm} \times 80 \text{ mm} \times 12 \text{ mm}$; (Doporučená tloušťka kotevní desky: nepočítána)
Profil:	I profil; ($V \times \dot{S} \times T \times T$) = 80 mm x 42 mm x 6 mm x 6 mm
Základní materiál:	s trhlinami beton, C20/25, $f_{cc} = 25,00 \text{ N/mm}^2$; $h = 400 \text{ mm}$, Teplota krátkodobá/dlouhodobá: 40/24 °C
Montáž:	kotevní otvor vrtaný příklepem, montážní podmínky: suchý
Výztuž:	Žádná výztuž nebo osová vzdálenost výztuže $\geq 150 \text{ mm}$ (jakýkoliv \emptyset) nebo $\geq 100 \text{ mm}$ ($\emptyset \leq 10 \text{ mm}$) s podélnou výztuží okraje $d \geq 12 +$ uzavřená síť (třímkы, háky) s \leq Je přítomna výztuž bránilci rozštěpení betonu podle EOTA TR 029, odstavec 5.2.2.6.



Geometrie [mm] & Zatížení [kN, kNm]



Společnost:
Projektant:
Adresa:
Telefon i fax:
E-mail:

Ing. Pavel Háša

Strana:
Projekt:
Dílčí projekt / pozice č.:
Datum:

2
Heliport
Konzola 1750m
4.8.2017

Stav	Popis	Síly [kN] / Momenty [kNm]	Seismický	Požár	Max. využ. [%]
1	Kombinace 1	N = 28,800; V _x = 0,000; V _y = -31,010; M _x = 0,000; M _y = 0,000; M _z = 0,000	Ne	ne	87
2	Kombinace 2	N = 44,310; V _x = 0,000; V _y = 0,000; M _x = 0,000; M _y = 0,000; M _z = 0,000	Ne	ne	100

* Detailní výsledky (Kombinace 1, zobrazené dále) nepředstavují rozhodující kombinaci zatížení Kombinace 2

2 Zatěžovací stav/Výsledné síly na kotvu

Zatěžovací stav: Návrhové zatížení

Reakce kotvy [kN]

Tahová síla: (+ Tah, - Tlak)

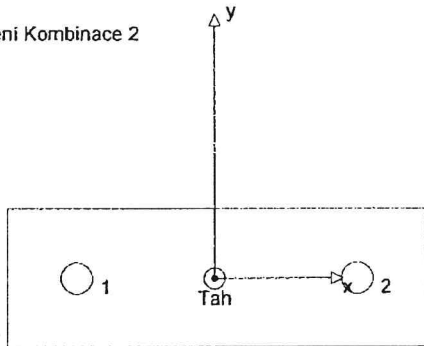
Kotva	Tahová síla	Smyková síla	Smyková síla x	Smyková síla y
1	14,400	15,505	0,000	-15,505
2	14,400	15,505	0,000	-15,505

max. tlakové přetvoření betonu: - [%]

max. tlakové napětí v betonu: - [N/mm²]

výsledná tahová síla v (x/y)=(0/0): 28,800 [kN]

výsledná tlaková síla v (x/y)=(0/0): 0,000 [kN]



3 Tahové zatížení (EOTA TR 029, bod 5.2.2)

	Zatížení [kN]	Únosnost [kN]	Využití β _N [%]	Stav
Porušení ocelí*	14,400	52,667	28	OK
Kombinované porušení vytažením - vytržením betonového kuželu**	28,800	48,802	60	OK
Porušení vytržením betonového kuželu**	28,800	44,668	65	OK
Porušení rozštěpením**	Není k dispozici	Není k dispozici	Není k dispozici	Není k dispozici

* nejnepříznivější kotva ** skupina kotev (kotvy v tahu)

3.1 Porušení ocelí

N _{Rk,s} [kN]	γ _{M,s}	N _{Rd,s} [kN]	N _{Sd} [kN]
79.000	1,500	52,667	14,400

3.2 Kombinované porušení vytažením - vytržením betonového kuželu

A _{p,N} [mm ²]	A _{p,N} ⁰ [mm ²]	τ _{Rk,ucr,25} [N/mm ²]	s _{cr,Np} [mm]	c _{cr,Np} [mm]	c _{min} [mm]
181956	125316	18,00	354	177	320
ψ _c	τ _{Rk,cr} [N/mm ²]	k	ψ _{g,Np} ⁰	ψ _{g,Np}	
1,000	8,50	2,300	1,000	1,000	
e _{c1,N} [mm]	ψ _{ec1,Np}	e _{c2,N} [mm]	ψ _{ec2,Np}	ψ _{s,Np}	ψ _{re,Np}
0	1,000	0	1,000	1,000	1,000
N _{Rk,p} ⁰ [kN]	N _{Rk,p} [kN]	γ _{M,p}	N _{Rd,p} [kN]	N _{Sd} [kN]	
50,416	73,203	1,500	48,802	28,800	

3.3 Porušení vytržením betonového kuželu

A _{c,N} [mm ²]	A _{c,N} ⁰ [mm ²]	c _{cr,N} [mm]	s _{cr,N} [mm]
181956	125316	177	354
e _{c1,N} [mm]	ψ _{ec1,N}	e _{c2,N} [mm]	ψ _{ec2,N}
0	1,000	0	1,000
N _{Rk,c} ⁰ [kN]	γ _{M,c}	N _{Rd,c} [kN]	N _{Sd} [kN]
46,145	1,500	44,668	28,800

Společnost:
Projektant:
Adresa:
Telefon / fax:
E-mail:

Ing. Pavel Háša

Strana:
Projekt:
Dílčí projekt / pozice č.:
Datum:

3
Heliport
Konzola 1750m
4.8.2017

4 Smykové zatížení (EOTA TR 029, bod 5.2.3)

	Zatížení [kN]	Únosnost [kN]	Využití β_v [%]	Stav
Porušení oceli (bez distanční montáže)*	15,505	31,200	50	OK
Porušení oceli (s distanční montáží)*	Není k dispozici	Není k dispozici	Není k dispozici	Není k dispozici
Porušení vylomením betonu**	31,010	89,336	35	OK
Porušení okraje betonu ve směru y-**	31,010	74,381	42	OK

* nejnepříznivější kotva ** skupina kotev (rovnocenné kotvy)

4.1 Porušení oceli (bez distanční montáže)

$V_{RK,s}$ [kN]	$\gamma_{M,s}$	$V_{Rd,s}$ [kN]	V_{Sd} [kN]
39,000	1,250	31,200	15,505

4.2 Porušení vylomením betonu (relevantní k vytažení)

$A_{c,N}$ [mm ²]	$A_{c,N}^0$ [mm ²]	$c_{cr,N}$ [mm]	$s_{cr,N}$ [mm]	k-factor	k_1
181956	125316	177	354	2,000	7,200
$e_{c1,V}$ [mm]	$\psi_{ec1,N}$	$e_{c2,V}$ [mm]	$\psi_{ec2,N}$	$\psi_{s,N}$	$\psi_{re,N}$
0	1,000	0	1,000	1,000	1,000
$N_{RK,c}^0$ [kN]	$\gamma_{M,c,p}$	$V_{Rd,c}$ [kN]	V_{Sd} [kN]		
46,145	1,500	89,336	31,010		

4.3 Porušení okraje betonu ve směru y-

h_{ef} [mm]	d_{nom} [mm]	k_1	α	β
118	16,0	1,700	0,061	0,055
c_1 [mm]	$A_{c,V}$ [mm ²]	$A_{c,V}^0$ [mm ²]		
320	448000	460800		
$\psi_{s,V}$	$\psi_{h,V}$	$\psi_{s,V}$	$e_{c,V}$ [mm]	$\psi_{re,V}$
1,000	1,095	1,000	0	1,000
$V_{RK,c}^0$ [kN]	$\gamma_{M,c}$	$V_{Rd,c}$ [kN]	V_{Sd} [kN]	
74,829	1,500	74,381	31,010	

5 Kombinace zatížení tah/smyk (EOTA TR 029, bod 5.2.4)

β_N	β_V	α	Využití $\beta_{N,V}$ [%]	Stav
0,645	0,497	1,500	87	OK

$\beta_N^0 + \beta_V^0 \leq 1$

6 Posuny (nejvíce zatížená kotva)

Krátkodobé teplotní zatížení:

$$N_{Sk} = 10,667 \text{ [kN]} \quad \delta_N = 0,126 \text{ [mm]}$$

$$V_{Sk} = 11,485 \text{ [kN]} \quad \delta_V = 0,459 \text{ [mm]}$$

$$\delta_{NV} = 0,476 \text{ [mm]}$$

Dlouhodobé teplotní zatížení:

$$N_{Sk} = 10,667 \text{ [kN]} \quad \delta_N = 0,288 \text{ [mm]}$$

$$V_{Sk} = 11,485 \text{ [kN]} \quad \delta_V = 0,689 \text{ [mm]}$$

$$\delta_{NV} = 0,747 \text{ [mm]}$$

Poznámka: Posuny vlivem tahové síly jsou platné při poloviční hodnotě předepsaného utahovacího momentu pro bez trhlin beton! Smykové posuny jsou platné za předpokladu žádného tření mezi betonem a kotevní deskou! Mezery mezi kotvou a vrtaným kotevním otvorem a mezery mezi kotvou a otvorem v kotevní desce nejsou v tomto výpočtu zahrnuty!

Přípustné posuny kotev závisí na připevňované konstrukci a musejí být definovány projektantem!





Profis Anchor 2.5.5

www.hilti.com

Společnost:
Projektant: Ing. Pavel Háša
Adresa:
Telefon I fax:
E-mail:

Strana: 4
Projekt: Heliport
Dílčí projekt / pozice č.: Konzola 1750m
Datum: 4.8.2017

7 Upozornění

- Přerozdělení zatížení do jednotlivých kotev v důsledku pružné deformace kotevní desky není uvažováno. Předpokládá se, že kotevní deska je dostatečně tuhá, aby se nedeformovala, když je vystavena zatížení! Vstupní data a výsledky musí být zkонтrolovány zda odpovídají stávajícím podmínkám a zda jsou věrohodné!
- Kontrolu přenosu zatížení do základního materiálu je požadováno provést v souladu s EOTA TR 029 část 7!
- Návrh je platný pouze v případě, když průměry otvorů pro kotvy v kotevní desce nejsou větší než je stanoveno v EOTA TR029, tabulka 4.1! Komentář ohledně větších otvorů je uveden v EOTA TR029, článek 1.1!
- Seznam příslušenství v tomto protokolu slouží pouze jako informace uživateli. V každém případě je třeba dodržovat návod k použití dodávaný s výrobkem, aby byla zajištěna správná instalace.
- Čištění vyvrtaného kotevního otvoru musí být provedeno dle návodu na použití (2x vyfoukat stlačeným vzduchem bez oleje (min. 6bar), 2x vykartáčovat a opět 2x vyfoukat stlačeným vzduchem bez oleje (min. 6bar)).
- Charakteristická pevnost lepící hmoty (soudržnost) závisí na krátkodobých a dlouhodobých teplotách.
- Prosím kontaktujte Hilti pro ověření dostupnosti dodávky kotevních šroubů HIT-V.
- Okrajová výztuž není požadovaná pro zabránění porušení rozštěpením.

Upevnění je bezpečné!

www.hilti.com

Společnost:
Projektant: Ing. Pavel Háša
Adresa:
Telefon i fax: |
E-mail:

Strana: 5
Projekt: Heliport
Dílčí projekt / pozice č.: Konzola 1750m
Datum: 4.8.2017

8 Montážní pokyny

Kotevní deska, ocel: -

Profil: I profil: 80 x 42 x 6 x 6 mm

Průměr otvoru v kotevní desce: $d_f = 18$ mm

Tloušťka kotevní desky (vstup): 12 mm

Doporučená tloušťka kotevní desky: nepočítána

Čištění: Je požadováno kvalitní vyčištění kotevního otvoru

Typ a velikost kotvy: HIT-HY 200-A + HIT-V (5.8) M16

Utahovací moment: 0,080 kNm

Průměr otvoru v základním materiálu: 18 mm

Hloubka kotevního otvoru v základním materiálu: 118 mm

Minimální tloušťka základního materiálu: 154 mm

8.1 Doporučené příslušenství

Vrtání

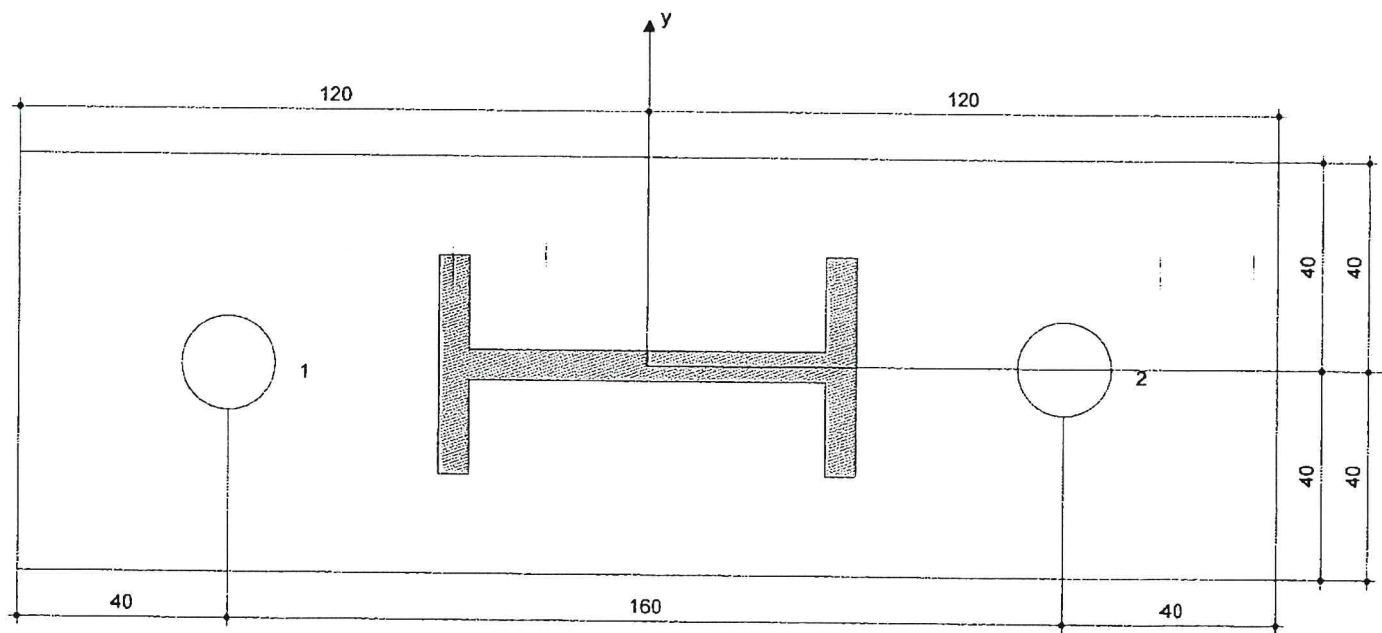
- Vhodná pro vrtaci kladivo
- Vrták správného průměru

Čištění

- Sdílený vzduch s požadovaným příslušenstvím pro vyfoukání kotevního otvoru ode dna
- Odpovídající průměr drátkového kartáče

Osazení

- Vytlačovací přístroj včetně vodicí kazety a směšovače
- Momentový klíč



Souřadnice kotev [mm]

Kotva	x	y	c_{-x}	c_{+x}	c_{-y}	c_{+y}
1	-80	0	-	-	320	-
2	80	0	-	-	320	-

Je potřebné zkontrolovat shodu vstupních údajů se skutečnými podmínkami a přijatelnost výsledků.
PROFIS Anchor (c) 2003-2009 Hilti AG, FL-9494 Schaan Hilti je registrována obchodní značka společnosti Hilti AG, Schaan



Profis Anchor 2.5.5

www.hilti.com

Společnost:
Projektant:
Adresa:
Telefon I fax:
E-mail:

Ing. Pavel Háša

Strana:
Projekt:
Dílčí projekt / pozice č.:
Datum:

6
Heliport
Konzola 1750m
4.8.2017

9 Poznámka; Váše kooperační služba

- Veškeré informace a data obsažená v Software se týkají vyhradně použití výrobků Hilti a vycházejí ze zásad, předpisů a bezpečnostních nařízení v souladu s technickými směrnicemi a provozními, montážními a instalacními pokyny společnosti Hilti, jimž se uživatel musí striktně řídit. Veškerá čísla obsažená v Softwarem představují průměrné hodnoty, a proto je před použitím příslušného výrobku Hilti nutno provést testy pro jeho konkrétní použití. Výsledky výpočtů provedených pomocí Softwareu vycházejí především z vámi zadaných dat. Nesete proto výhradní odpovědnost za bezchybnost, úplnost a relevantnost zadávaných dat. Mimoto nesete výhradní odpovědnost za kontrolu výsledků vzesílých z výpočtu a za to, že si tyto výsledky před jejich použitím pro konkrétní zařízení necháte ověřit a schválit od odborníka, zejména co se týče souladu s příslušnými normami a povoleními. Software slouží pouze jako pomůcka pro interpretaci norem a povolení bez jakékoli záruky ohledně bezchybnosti, přesnosti a relevantnosti výsledků nebo vhodnosti pro konkrétní použití.
- Abyste předešli škodám, které by Software mohl způsobit, nebo omezili jejich rozsah, musíte přijmout veškerá nutná a přiměřená opatření. Obzvláště je třeba pravidelně zálohovat programy a data a v případě potřeby provádět aktualizace Softwareu, které společnost Hilti pravidelně nabízí. Nepoužívejte-li funkci AutoUpdate, která je součástí Softwareu, je nutné zajistit aktuálnost vámi používané verze Softwareu ručními aktualizacemi prostřednictvím internetových stránek společnosti Hilti. Společnost Hilti nenese žádnou zodpovědnost za důsledky vzešlé z vámi zaviněného porušení povinností, jako je například nutnost obnovy ztracených či poškozených dat nebo programů.